

Е. С. НЕЖЕВЕНКО, П. Е. ТВЕРДОХЛЕБ

(Новосибирск)

КОГЕРЕНТНО-ОПТИЧЕСКИЕ УСТРОЙСТВА  
ДЛЯ РАСПОЗНАВАНИЯ ОДНОМЕРНЫХ СИГНАЛОВ

Ранее иллюстрировались возможности определения в КОУ некорреляционных мер близости двух сравниваемых сигналов, один из которых является эталонным, а второй — классифицируемым [1]. В настоящей работе показаны способы построения КОУ для вычисления расстояний между классифицируемым сигналом и классами сигналов, заданными своими векторами математических ожиданий и ковариационными матрицами. Варианты обсуждаемых устройств допускают сравнительно простую техническую реализацию.

**Исходные условия.** Пусть  $Y(y_1, y_2, \dots, y_n)$  — конечномерный (в общем случае бесконечномерный) вектор, описывающий сигнал, заданный соответствующим количеством ординат (отсчетов, признаков). Сигнал необходимо отнести к одному из  $m$  классов ( $m=1, 2, \dots, M$ ), каждый из которых характеризуется условной плотностью вероятности вектора  $Y$ . Если плотность вероятности хорошо аппроксимируется многомерным нормальным распределением с вектором математического ожидания  $M_m(\mu_{1m}, \mu_{2m}, \dots, \mu_{nm})$  и ковариационной матрицей  $K_m$  размерностью  $n \times n$ , то оптимальное распознавание сигнала сводится к вычислению  $m$  значений функции [2]

$$\tilde{S}_m(Y) = b_m - [(Y - M_m)^T K_m^{-1} (Y - M_m)], \quad (1)$$

где  $b_m$  — постоянная класса, и сравнению полученных значений между собой с целью выбора наименьшего. Поскольку  $\tilde{S}_m(Y)$  определяет по существу расстояние (близость) между вектором  $Y$  и совокупностью векторов класса  $m$ , то поступивший сигнал относится к тому из них, расстояние для которого является наименьшим.

Рассмотрим теперь приемы реализации операций распознавания сигналов в КОУ; при этом в качестве исходного примем известный вариант устройства [3]. Допустим прежде всего, что сигнал  $y=f(x)$ , подлежащий распознаванию, поступает на вход КОУ в виде двухградационного изображения. Имеются в виду либо контурные изображения с одинаковым по вертикали поперечным сечением  $a$  (рис. 1, а), либо силуэтные (см. рис. 1, б). Первые из них описываются амплитудным пропуском транспаранта

$$\varphi(x, y) = \sum_{i=1}^n \text{Rect}\left(\frac{y - y_i}{a}\right) \text{Rect}\left[\frac{x - (i - 1/2) \Delta x}{\Delta x}\right], \quad (2a)$$

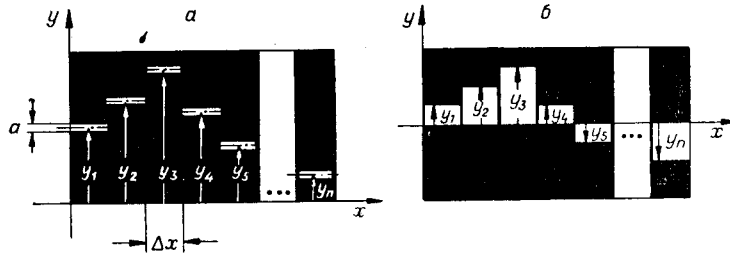


Рис. 1.

где

$$\text{Rect}(z) = \begin{cases} 1, & \text{если } |z| \leq 1/2; \\ 0, & \text{если } |z| > 1/2; \end{cases}$$

$\Delta x$  — размер  $i$ -го участка, а вторые — амплитудным пропусканием

$$\varphi(x, y) = \sum_{i=1}^n \text{Rect}\left(\frac{y - 1/2 y_i}{y_i}\right) \text{Rect}\left[\frac{x - (i - 1/2) \Delta x}{\Delta x}\right]. \quad (2б)$$

Если в изображении (2а)  $a \ll y_{i \max}$ , функция  $\text{Rect}\left(\frac{y - y_i}{a}\right)$  может быть приближенно представлена дельта-функцией  $\delta(y - y_i)$  и выражение (2а) примет вид

$$\varphi(x, y) \cong a \sum_{i=1}^n \delta(y - y_i) \text{Rect}\left[\frac{x - (i - 1/2) \Delta x}{\Delta x}\right]. \quad (3)$$

Условимся также, что учет постоянных классов и сравнение полученных значений  $\tilde{S}_m(Y)$  с последующим принятием решения будет производиться в выходных электронных блоках КОУ. Поэтому сосредоточим внимание лишь на той части устройства распознавания сигналов, которая осуществляет вычисление функции

$$S_m(Y) = (Y - M_m)^T K_m^{-1} (Y - M_m). \quad (4)$$

Эта часть показана на рис. 2. Вид функции  $S_m(Y)$ , а следовательно, и сложность ее вычисления существенно зависят от ковариационной матрицы  $K_m$ , характеризующей свойства соответствующего класса сигналов. Поэтому далее в порядке повышения сложности рассмотрим три важных случая вычисления расстояния (4), которые основаны на определении, во-первых, зависимости

$$r(\eta, \xi) = [\varphi_1(x, y) \otimes \varphi_2(x - \eta, y - \xi)] * \varphi_3(x, y), \quad (5)$$

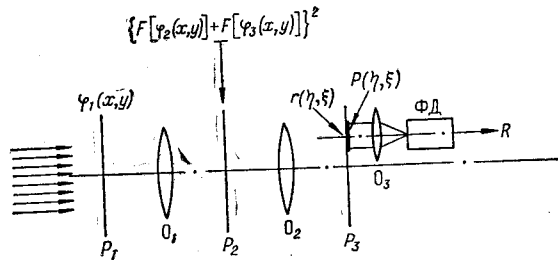


Рис. 2.

легко воспроизводимой когерентно-оптическими устройствами в виде амплитудного распределения света в плоскости  $P_3$ , и, во-вторых, взвешенного параллельного интегрирования этого распределения. В (5) и на рис. 2 функция  $\varphi_1(x, y)$  соответствует амплитудному пропусканию входного транспа-

ранта, функции  $\varphi_2(x, y)$  и  $\varphi_3(x, y)$  — амплитудным пропусканиям вспомогательных транспарантов, используемых для изготовления комплексно-сопряженных фильтров (обобщенных Фурье-голограмм);  $(\eta, \xi)$  — координаты плоскости  $P_3$ , а символы  $\otimes$ ,  $*$  и  $F$  обозначают соответственно операции корреляции, свертки и преобразования Фурье. Взвешенное интегрирование производится с помощью выходного фильтра с амплитудным пропусканием  $P(\eta, \xi)$ , объектива  $O_3$  и фотодетектора ФД с точечной диафрагмой. Выходной сигнал фотодетектора равен  $R$ .

**Способы вычисления расстояний в КОУ.** Случай 1. Ковариационная матрица  $K_m$  является диагональной с равными дисперсиями ( $\sigma_i^2 = \sigma_0^2$ ) признаков.

При таком допущении функция, подлежащая вычислению, приводится к виду

$$S_m(Y) = \sigma_0^2 \sum_{i=1}^n (y_{mi} - \mu_{mi})^2. \quad (6)$$

Несколько приемов (а, б, в, г) вычисления  $S_m(Y)$  приведены в таблице, где для каждого из них указаны виды функций  $\varphi_1$ ,  $\varphi_2$ ,  $\varphi_3$  и  $P$ , которые обеспечивают вычисление в КОУ параметра  $R$  (или  $R^2$ , как, например, в приемах а и б), пропорционального расстоянию (6). Приемы а, б, г целесообразно применять в ситуациях, когда математические ожидания классов не изменяются. Когда это условие не выполняется, следует применять прием в. Близость распознаваемого сигнала к остальным классам может определяться как последовательно путем смены комплексно-сопряженных фильтров (приемы а, б) либо выходных фильтров (приемы в, г), так и параллельно. В последнем случае для изготовления комплексно-сопряженного фильтра должен быть использован транспарант, на непересекающихся дорожках которого изображены либо векторы математических ожиданий всех классов (приемы а, б, г), либо тонкие щели длиной  $h$  с линейным изменением амплитудного пропускания (прием в). Кроме того, количество выходных фильтров и фотоприемников должно быть увеличено до числа классов. Очевидно, что при последовательном вычислении расстояний (6) КОУ в своем составе должны иметь блоки оптической памяти. Число фильтров, а следовательно, число распознаваемых классов в известных устройствах может достигать 1000 и более [4]. Наконец, заметим, что объектив  $O_3$  и точечная диафрагма в схеме КОУ необходимы лишь при использовании приема а.

**Случай 2.** Ковариационные матрицы классов диагональны с различными дисперсиями признаков. Тогда

$$S_m(Y) = \sum_{i=1}^n \frac{1}{(\sigma_{mi})^2} (y_{mi} - \mu_{mi})^2. \quad (7)$$

Вычисление расстояний (7) может быть произведено любым из указанных в таблице приемов. Необходимо лишь учитывать значения дисперсий  $\sigma_{mi}^2$  ординат. Практически это может быть осуществлено путем модуляции амплитудного пропускания контурных изображений (см. рис. 1, а), соответствующих векторам математических ожиданий классов.

**Случай 3.** Ковариационные матрицы классов не являются диагональными. Тогда вычислению подлежит квадратичная форма (4). Схема КОУ, пригодная для таких целей, показана на рис. 3. С помощью объектива  $O_1$  силуэтное изображение классифицируемого сигнала (26)

Прием	$\varphi_1(x, y)$	$\varphi_2(x, y)$	$\varphi_3(x, y)$	$P(\eta, \xi)$	Вычисляемый параметр
а	$a \sum_{i=1}^n \delta(y - y_i) \text{Rect} \times \left( \frac{x - (i - 1/2) \Delta x}{\Delta x} \right)$ (изображение сигнала)	$a \sum_{i=1}^n \delta(y - y_i) \text{Rect} \times \left( \frac{x - (i - 1/2) \Delta x}{\Delta x} \right)$ (изображение вектора математического ожидания)	$\delta(x - x_0, y - y_0)$ (точечное изображение)	$\varepsilon \delta(\eta) \xi^2 \text{Rect}(\xi/h)$ (изображение тонкой щели размером $\varepsilon \times h$ с квадратичным изменением пропускания)	$R^2 = \varepsilon d^2 \left[ a \Delta x \sum_{i=1}^n \times (y - \mu_i)^2 \right]^2$
б	$\cong$	$\cong$	$\varepsilon \delta(x) y^2 \text{Rect}(y/h)$ (изображение тонкой щели размером $\varepsilon \times h$ с квадратичным изменением пропускания)	$d^2 \delta(\eta) \delta(\xi)$ (точечное отверстие)	$\cong$
в	$\cong$	$\varepsilon \delta(x)  y  \text{Rect}(y/h)$ (изображение тонкой щели размером $\varepsilon \times h$ с линейным изменением пропускания)	$\delta(x - x_0, y - y_0)$ (точечное отверстие)	$a \sum_{i=1}^n \delta(\xi - y_i) \text{Rect} \times \left( \frac{\eta - (i - 1/2) \Delta \eta}{\Delta \eta} \right)$ (изображение вектора математического ожидания)	$R = \varepsilon a \Delta x d^2 \sum_{i=1}^n (y_i - \mu_i)^2$
г	$d^2 \delta(x - x_0, y - y_0)$ (точечное отверстие)	$a \sum_{i=1}^n \delta(y - y_i) \text{Rect} \times \left( \frac{x - (i - 1/2) \Delta x}{\Delta x} \right)$ (изображение вектора математического ожидания)	$\varepsilon \delta(x)  y  \text{Rect}(y/h)$ (изображение тонкой щели размером $\varepsilon \times h$ с линейным изменением пропускания)	$a \sum_{i=1}^n \delta(\xi - y_i) \text{Rect} \times \left( \frac{\eta - (i - 1/2) \Delta \eta}{\Delta \eta} \right)$ (изображение сигнала)	$\cong$

проецируется в плоскость  $P_2$ , где в нижней половине расположено силуэтное изображение вектора математического ожидания

$$\sum_{i=1}^n \text{Rect}\left(\frac{y - 1/2\mu_i}{\mu_i}\right) \text{Rect}\left(\frac{x - (i - 1/2)\Delta x}{\Delta x}\right).$$

Полуволновая пластинка  $\Pi$  осуществляет сдвиг на  $180^\circ$  фазы волны, освещающей нижнюю полуплоскость  $P_2$ . Поэтому в задней фокальной плоскости анаморфотной оптики  $O_2O_3$  вдоль узкой центральной по-

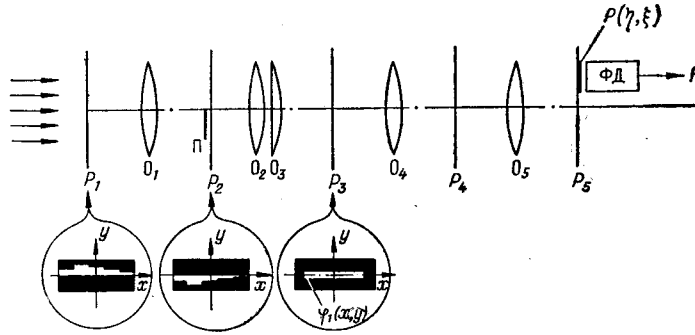


Рис. 3.

лосы, параллельной оси  $x$ , получим световое распределение, эквивалентное разности классифицируемого сигнала и вектора математического ожидания класса  $m$ , т. е.

$$\varphi_1(x, y) = \sum_{i=1}^n (y_{mi} - \mu_{mi}) \text{Rect}\left(\frac{x - (i - 1/2)\Delta x}{\Delta x}\right). \quad (8)$$

Последующая часть рассматриваемого устройства осуществляет преобразование изображения  $\varphi_1(x, y)$  в амплитудное распределение света  $r(\eta, \xi)$ , согласно уравнению (5). В качестве  $\varphi_2(x, y)$  в этом случае используем функцию

$$\varphi_2(x, y) = d^2 \sum_{i=1}^n \delta(x, y - (j - 1)\Delta y) + \sum_{i=2}^n \sum_{j=1}^n \delta(x - i\Delta x, y - j\Delta y). \quad (9)$$

Она описывает пропускание транспаранта с вертикально и наклонно расположенными точечными отверстиями с эквивалентным диаметром  $2d/\sqrt{\pi}$ . Комплексно-сопряженный фильтр, устанавливаемый в плоскости  $P_3$ , изготавливается с изображения (9), причем  $\varphi_3(x, y) = \delta(x - x_0, y - y_0)$ . В результате реализации преобразования (5) световое распределение (8) размножится по оси  $\xi$  выходной плоскости на  $n$  одинаковых распределений (действие вертикальных точечных отверстий) и, кроме того, на каждое из них, за исключением распределения, полученного с помощью точечного отверстия  $\delta(x, y)$ , наложится еще одно распределение (8), сдвинутое по оси  $\eta$  на  $\Delta x$  при  $j=2$ , на  $2\Delta x$  при  $j=3$  и т. д. Амплитуда света на участках с координатами  $\eta_i, \xi_j$  ( $i, j = 1, 2, \dots, n; i \neq j$ ), где произошло наложение, будет пропорциональна значению

$$r_{mij} = \bar{y}_{mi} + \bar{y}_{mj},$$

где

$$\bar{y}_{mi} = y_{mi} - \mu_{mi} \text{ и } \bar{y}_{mj} = y_{mj} - \mu_{mj},$$

а на участках с координатами  $\eta_i, \xi_j$  ( $i = j$ ) —  $r_{mij} = \bar{y}_{mi}$ . Обозначим область значений  $r_{mij}$  символом  $\Omega$ . Разместим теперь в выходной плоскости фильтр с амплитудным пропусканием

$$P(\eta_i, \xi_j) = \sum_{i=1}^n \sum_{j=i+1}^n \sqrt{h_{ij}} \delta(\eta - \eta_i, \xi - \xi_j), \quad (10)$$

где  $\sqrt{h_{ij}}$  — суммарное амплитудное пропускание участка с координатами  $(\eta_i, \xi_j)$ . Для определения значений  $h_{ij}$ , которые вначале будем считать положительными, составим два уравнения. Первое из них описывает желаемый результат, т. е.

$$R_m = \sum_{i=1}^n \sum_{j=i+1}^n \bar{y}_{mi} \bar{y}_{mj} l_{ij} = 2 \sum_{i=1}^n \bar{y}_{mi}^2 l_{ii} + 2 \sum_{i=1}^n \sum_{j=i+1}^n \bar{y}_{mi} \bar{y}_{mj} l_{ij}; \quad (11)$$

при этом  $l_{ij}$  являются элементами симметрической матрицы  $L = K^{-1}$ . Второе уравнение описывает распределение интенсивности света на выходе фильтра (10)

$$\begin{aligned} \tilde{R}_m = & \sum_{i=1}^n \bar{y}_{mi}^2 h_{ii} + \sum_{i=1}^n \sum_{j=i+1}^n (\bar{y}_{mi} + \bar{y}_{mj})^2 h_{ij} = \sum_{i=1}^n \bar{y}_{mi}^2 h_{ii} + \sum_{i=1}^n \bar{y}_{mi}^2 \left( \sum_{j=i+1}^n h_{ij} \right) + \\ & + \sum_{i=1}^n \sum_{j=i+1}^n \bar{y}_{mi} \bar{y}_{mj} h_{ij} + 2 \sum_{i=1}^n \sum_{j=i+1}^n \bar{y}_{mi} \bar{y}_{mj} h_{ij}. \end{aligned} \quad (12)$$

Принимая во внимание, что

$$\sum_{i=1}^n \sum_{j=i+1}^n \bar{y}_{mj}^2 h_{ij} = \sum_{i=1}^n \bar{y}_{mi}^2 \left( \sum_{j=1}^{i-1} h_{ij} \right),$$

выражение (12) можно привести к виду

$$\tilde{R}_m = \sum_{i=1}^n \bar{y}_{mi}^2 \left( h_{ii} + \sum_{j=i+1}^n h_{ij} + \sum_{j=1}^{i-1} h_{ij} \right) + 2 \sum_{i=1}^n \sum_{j=i+1}^n \bar{y}_{mi} \bar{y}_{mj} h_{ij}. \quad (13)$$

Приравнявая коэффициенты при одинаковых переменных в уравнениях (11) и (13), получим:

$$2l_{ii} = h_{ii} + \sum_{j=i+1}^n h_{ij} + \sum_{j=1}^{i-1} h_{ij}; \quad l_{ij} = h_{ij} \quad (i \neq j). \quad (14)$$

Поскольку  $h_{ji} = h_{ij}$ , что является следствием симметричности ковариационной матрицы, находим:

$$h_{ii} = 2l_{ii} - \sum_{j=1}^n l_{ij}; \quad h_{ij} = l_{ij} \quad (i \neq j). \quad (15)$$

Таким образом, желаемый результат (11) может быть получен, если проинтегрировать световой поток на выходе фильтра, определяемого (10), в котором  $h_{ij}$  находятся из системы (15).

Если элементы  $l_{ij}$  матрицы  $L$ , а следовательно, и параметры  $h_{ij}$  принимают не только положительные, но и отрицательные значения, то результат (11) может быть получен путем воспроизведения в выходной плоскости еще одной области  $\Omega$  и использования двух фильтров, перекрывающих указанные области. Пропускание  $h_{ij}$  первого из фильтров отлично от нуля лишь в местах расположения положительных компонент матрицы  $L$ , а второго — в местах расположения отрицательных компонент. Абсолютные значения значащих компонент, как и ранее, определяются из выражений (15). Воспроизведение в выходной плос-

кости двух одинаковых областей  $\Omega$  может быть обеспечено, если комплексно-сопряженный фильтр изготовить с изображения, на котором в отличие от транспаранта с пропусканием  $\varphi_2(x, y)$  имеется еще один параллельный ряд наклонных отверстий, расположенных слева от оси  $y$ . При раздельном интегрировании световых потоков на выходе фильтров получим значения  $R^{(+)}$  и  $R^{(-)}$ . Нетрудно убедиться, что разность  $R = R^+ - R^-$  будет пропорциональна значению искомой квадратичной формы ( $A$ ).

**Заключение.** Рассмотренные в работе случаи охватывают широкий круг задач распознавания одномерных сигналов. Каждому из них соответствует сравнительно простой вариант КОУ, «двумерность» и механизм действия которых рационально используются для представления классифицируемых сигналов в виде двухградационных изображений (случаи 1, 2, 3), для одновременного вычисления близости к нескольким классам (случаи 1, 2) и для преобразования сигнала в вид, удобный для вычисления значений квадратичной формы, которая, как известно, имеет двумерную пространственную структуру. Поскольку КОУ могут иметь оптическую память сравнительно большого объема, то их целесообразно использовать в задачах с большим числом классов (1000 и более). Возможности когерентно-оптических устройств могут быть в полной мере использованы при создании устройств оперативного ввода классифицируемых сигналов.

#### ЛИТЕРАТУРА

1. Е. С. Нежевенко. Определение близости функций в когерентно-оптических вычислительных устройствах.— Автометрия, 1971, № 6.
2. Н. Нильсон. Обучающиеся машины. М., «Мир», 1967.
3. A. Vander Lugt, F. B. Rotz, A Klooster. Character-reading by optical spatial filtering.— Optical and Electro-optical Information Processing, 1965.
4. Г. А. Воскобойник, И. С. Гибин, Е. С. Нежевенко, П. Е. Твердохлеб. Применение когерентных оптических вычислительных устройств для решения задач информационного поиска.— Автометрия, 1971, № 1.

*Поступила в редакцию  
9 марта 1972 г.*